

Daniel Kientz

EFS Grand Est

Site de Strasbourg

Je n'ai pas de conflits d'intérêt

SFTS
2021

XXX^e CONGRÈS
MARSEILLE
24-26 novembre 2021
PALAIS DU PHARO

Les procédés d'atténuation des pathogènes

Techniques – Spectre d'inactivation

Daniel Kientz
EFS Grand Est



Historique

- Les crises sanitaires des années 70 et 80 entraînent une prise de conscience du risque infectieux lié aux produits sanguins
 - Contaminations de patients hémophiles par du F VIII avec VHB, VHC et VIH
 - Contaminations de patients transfusés avec PSL avec les mêmes agents infectieux
- → Chaîne de mesures destinées à assurer la sécurité infectieuse des PSL
 - Sélection médicale des donneurs → fiabilité de l'entretien
 - Tests de dépistage → fenêtres silencieuses, agents émergents ou inconnus
 - *Atténuation des pathogènes → spectre d'efficacité; maintien des propriétés du produit; toxicité*
 - Conditions de préparation, de conservation, et de transport des PSL

Rationnel de l'atténuation des pathogènes

- Attitude proactive vis-à-vis d'agents émergents ou inconnus
 - Par opposition à l'attente de nouveaux tests de dépistage ou la mise en place de techniques de détection bactérienne
 - Idéalement, assouplissement de certaines mesures de sélection des donneurs, voire disparition de certains tests de dépistage
 - Action sur les acides nucléiques → action sur les leucocytes qui permet d'éviter l'irradiation des PSL et ses propres inconvénients (qualité des produits, durée de conservation)
 - Nécessité d'un impact minimal sur la qualité des PSL
 - Absence de toxicité
- Nécessité de dossiers de validation robustes et de programmes d'hémovigilance

Les techniques disponibles

- **Les techniques physiques**

- Ce sont les premières utilisées, notamment pour les MDS
 - « Chauffage » ou Pasteurisation à +60° C → efficace sur les principaux virus d'intérêt. Inutilisable pour les cellules
 - Etapes de filtration et de nanofiltration → éliminent les bactéries et les parasites
Efficacité sur un large spectre de pathogènes
 - Nécessité d'ajout d'agents stabilisants, protecteurs des protéines thermolabiles
- Plus récemment: utilisation de l'illumination aux UVC pour l'atténuation des pathogènes dans les concentrés plaquettaires
 - UVC → génération de dimères pyrimidiques empêchant la réPLICATION des acides nucléiques
 - Pas de substance exogène introduite dans les PSL
 - Génération de radicaux libres
 - Interrogations sur la cinétique de formation du thrombus (conservation++)

Les techniques disponibles

- **Les techniques photo-chimiques**

- **Amotosalen + UVA**
 - Psoralène de synthèse de faible poids moléculaire → pénétration dans les membranes et intercalation dans les acides nucléiques
 - Illumination UVA → liaisons covalentes irréversibles
- Limites sur virus non enveloppés
 - Impact sur les plaquettes jeunes avec ARN mitochondrial?
- **Riboflavine (vitamine B2) + UV (en évaluation en France)**
 - Fixation aux acides nucléiques. Illumination → transfert d'énergie et oxydation de la guanine
 - Génération de radicaux libres ++ → Fonctions des plaquettes?
- **Bleu de méthylène + lumière visible (non autorisé en France à ce jour)**
 - Forte affinité du BM pour membranes lipidiques → limites sur virus non enveloppés
 - Interrogations sur réactions allergiques

Les techniques disponibles

• Les techniques chimiques

- Traitement Solvant-détergent (MDS + plasma « médicament »)
 - **+++ pour virus enveloppés**
 - **--- pour virus non enveloppés (mais filtration et effet poolage)**
 - **Impact sur certaines protéines plasmatiques (α_2 antiplasmine, multimères THPM du FvW)**
 - **Inutilisable sur les produits cellulaires**
- S-303 pour globules rouges et sang total (en évaluation)
 - Même mécanisme que Amotosalen-UVA, mais **les liaisons sont rendues covalentes par abaissement du pH (hémoglobine absorbe UV)**
 - **Interrogations sur impact de la technique sur la durée de vie des GR**
 - A ce jour, technique très manuelle rendant son utilisation complexe à l'échelle des productions de GR nécessaires

Les techniques disponibles: Pour quels PSL?

	Plasma thérapeutique			
Technique (industriel)	Solvant-détergent (Octapharma)	Intercept (Cerus)	Mirasol (Terumo)	Theraflex (Maco Pharma)
Principe actif	Tween et Triton X100	Amotosalen + UVA	Riboflavine (vit B2) + UV	Bleu de méthylène + UVB
Cible	Membrane lipidique	Acides nucléiques	Acides nucléiques	Acides nucléiques
Utilisation en routine	France* et à l'étranger	France et à l'étranger	A l'étranger	A l'étranger

* C'est un MDS disponible dans certaines PUI des hôpitaux

	Concentrés plaquettaires		
Technique (industriel)	Intercept (Cerus)	Mirasol (Terumo)	Theraflex UV (Maco Pharma)
Principe actif	Amotosalen + UVA	Riboflavine (vit B2) + UV	UVC
Cible	Acides nucléiques	Acides nucléiques	Acides nucléiques
Utilisation en routine	France et à l'étranger	A l'étranger	En évaluation

	CGR ou sang total	
Technique (industriel)	Intercept (Cerus)	Mirasol (Terumo)
Principe actif	S 303	Riboflavine (vit B2) + UV
Cible	Acides nucléiques	Acides nucléiques
Utilisation en routine	En évaluation	En évaluation

Aucun déploiement en routine aujourd'hui

D'après R Djoudi SFVTT Lyon 2016

Spectres d'atténuation dans les concentrés plaquettaires

Bactéries	Concentrés plaquettaires		
	Amotosalen-UVA	Riboflavine-UV	UVC
<i>Staphylococcus aureus</i>	++	++	++
<i>Escherichia coli</i>	++	++	++
<i>Borrelia burgdorferi</i>		NC	NC
<i>Treponema pallidum</i>	++	NC	NC
<i>Serratia marcescens</i>	++	NC	++
<i>Staphylococcus epidermidis</i>	++	+	++
<i>Acinetobacter baumannii</i>	++	NC	++
<i>Yersinia enterocolitica</i>	++	+	NC
<i>Enterobacter cloacae</i>	++	NC	++
<i>Bacillus cereus</i> (spores)	-	-	±

Parasites	Concentrés plaquettaires		
	Amotosalen-UVA	Riboflavine-UV	UVC
<i>Plasmodium falciparum</i>	++	+	++
<i>Trypanosoma cruzi</i>	++	++	++
<i>Babesia microti</i>	++	++	++
<i>Leischmaniose</i>	++	++	NC

Virus	Concentrés plaquettaires		
	Amotosalen-UVA	Riboflavine-UV	UVC
VIH	++	++	-
VHB	++	++	++
VHC	++	NC	NC
Chikungunya	++	+	NC
West Nile	++	+	++
SARS-CoV1	++	+	+
SARS-CoV2	+	++	NC
MERS-CoV	++	NC	+
Dengue	++	-	++
Zika	++	NC	++
Parvovirus	-	NC	++
VHA	-	-	++

Spectres d'atténuation dans les plasmas thérapeutiques

Virus	Plasma thérapeutique			
	Amotosalen-UVA	Riboflavine-UV	BM	SD
VIH	++	++	++	++
VHB	++	NC	++	++
VHC	++	NC	NC	++
Chikungunya	++	NC	NC	NC
West Nile	++	++	++	NC
SARS-CoV1	++	NC	+	NC
SARS-CoV2*	+	++	NC	NC
MERS-CoV	++	++	+	NC
Dengue	++	-	++	NC
Zika	++	NC	++	NC
Parvovirus	-	NC	++	-
VHA	-	-	-	-

Parasites	Plasma thérapeutique			
	Amotosalen-UVA	Riboflavine-UV	BM	SD
Plasmodium falciparum	++	++	++	++
Trypanosoma cruzi	++	++	++	++

*Intéressant en période de pandémie pour renforcer la sécurité si préparation de plasma convalescent

Spectres d'atténuation dans les globules rouges/sang total

Amotosalen-UVA

Table 2 Pathogen reduction with the amustaline/GSH system for RBCs

Type	Characteristic	Organism	Log reduction*
Bacterial	Gram-negative	<i>Yersinia enterocolitica</i> [63]	≥6.8 ± 0.2
		<i>Serratia marcescens</i> [63]	5.1 ± 0.1
		<i>Escherichia coli</i> [63]	≥6.7 ± 0.1
		<i>Salmonella choleraesuis</i> [65]	3.9 ± 0.1
		<i>Pseudomonas fluorescens</i> [65]	3.0 ± 0.1
	Gram-positive	<i>Klebsiella oxytoca</i> [65]	≥6.3 ± 0.3
		<i>Staphylococcus epidermidis</i> [63]	>7.1 ± 0.1
		<i>Staphylococcus aureus</i> [36]	>5.1 ± 0.3
		Cell-associated human immunodeficiency virus [63]	>5.9 ± 0.1
		Bovine viral diarrhoea virus (BVDV; hepatitis C model) [63]	>4.8 ± 0.0
Viral	Enveloped, ssDNA (+)	Zika virus (ZIKV) [62]	>5.99 ± 0.2
		Chikungunya virus (CHIKV) [58]	>5.8 ± 0.2
		Dengue virus (DENV) [57]	>6.61 ± 0.2
		Vesicular stomatitis virus (VSV) [109]	5.7 ± 0.2
		Duck hepatitis B virus (DHBV; hepatitis B model) [59]	>5.1 ± 0.2
	Enveloped, dsDNA	Cytomegalovirus (HSV model for CMV) [36]	≥6.0
		Bluetongue virus (BTV) [63]	≥5.0 ± 0.1
		Human adenovirus 5 (AD5) [63]	>7.4 ± 0.2
		Feline calicivirus (FCV) [64]	>6.8 ± 0.1
		<i>Babesia microti</i> [70]	>5.0 ± 0.2
	Intra-erythrocytic parasite	<i>Plasmodium falciparum</i> [110]	>7.9 ± 2.3

Progress towards an appropriate pathogen reduction technology for whole blood in Africa

Soraya Amar El Dusouqi,¹ Marion C. Lanteri,² Rudolf Schwabe,¹ Anja Grzesiczk,¹ Anne North,² Nina Mufti,² Yassongui Mamadou Sekongo,³ John Pitman² & Claude Tayou Tagny^{4,5}

ISBT Science Series (2019) 0, 1–13

Riboflavin-UV

Table 2. In vitro studies examining the efficacy of WB PRT

Target	Reference	Design	Infectious dose	Inactivation dose	Result (log inactivation)
White cells	Fast <i>et al.</i> (2013)	GVHD mouse model		80 J (m RBC) ⁻¹	PHA = 0 Allo-Ag = 0
<i>Babesia microti</i>	Tonnetti <i>et al.</i> (2013)	WB infected hamster blood	10E1-10E6 mL ⁻¹	80 J (m RBC) ⁻¹	≥5
<i>Trypanosoma cruzi</i>	Tonnetti <i>et al.</i> (2012)	WB spiked cultured trypanomastigote cells	4–4000 mL ⁻¹	80 J (m RBC) ⁻¹	≥3.5
<i>Leishmania donovani</i>	Tonnetti <i>et al.</i> (2015)	Monocytes infected with promastigotes	10E1-10E5 mL ⁻¹	80 J (m RBC) ⁻¹	3
<i>Plasmodium falciparum</i>	El Chaar <i>et al.</i> (2013)	WB spiked cultured <i>Pf</i>	10E5 mL ⁻¹	80 J (m RBC) ⁻¹	15d delay or ≥6
HCV	Yonemura <i>et al.</i> (2017)	Spiked culture	10E5 mL ⁻¹	80 J (m RBC) ⁻¹	Negative at 21d or ≥6
<i>Bacillus cereus</i>	Yonemura <i>et al.</i> (2017)	Spiked culture	10E5 mL ⁻¹	80 J (m RBC) ⁻¹	5.3
<i>Escherichia coli</i>	Yonemura <i>et al.</i> (2017)	Spiked culture	10E5 mL ⁻¹	80 J (m RBC) ⁻¹	5.0
<i>Staphylococcus aureus</i>	Yonemura <i>et al.</i> (2017)	Spiked culture	10E5 mL ⁻¹	80 J (m RBC) ⁻¹	4.1
<i>Staphylococcus epidermidis</i>	Yonemura <i>et al.</i> (2017)	Spiked culture	10E5 mL ⁻¹	80 J (m RBC) ⁻¹	3.2
<i>Serratia liquefaciens</i>	Yonemura <i>et al.</i> (2017)	Spiked culture	10E5 mL ⁻¹	80 J (m RBC) ⁻¹	5.9
<i>Streptococcus pyogenes</i>	Yonemura <i>et al.</i> (2017)	Spiked culture	10E5 mL ⁻¹	80 J (m RBC) ⁻¹	≥5.1
<i>Yersinia enterolitica</i>	Yonemura <i>et al.</i> (2017)	Spiked culture	10E5 mL ⁻¹	80 J (m RBC) ⁻¹	4.4

GVHD, graft vs host disease; J, Joule; Pf, *Plasmodium falciparum*; PHA, phytohaemagglutinin; RBC, red blood cell.

Pathogen reduction of whole blood: utility and feasibility

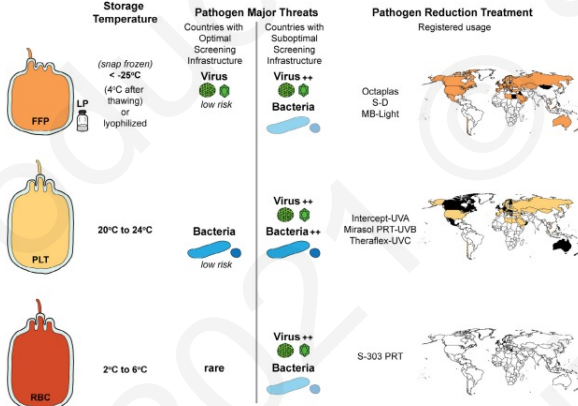
J.-P. Allain¹ & R. Goodrich²

Transfusion Medicine, 2017

Déploiement géographique des techniques d'atténuation des pathogènes dans les PSL

Table I - Current pathogen inactivation technologies, mechanisms, applications and licensing status.

Manufacturer	Technology	Key mechanisms	Transfusion components	Licensing	Countries
Cerus	INTERCEPT®	Amotosalen + UVA Light (320-400 nm)	Platelets (apheresis or whole blood-derived)	CE marked (class III) 2002	22
	INTERCEPT®	Amotosalen + UVA Light (320-400 nm)	Plasma (apheresis or whole blood-derived)	CE marked (class III) 2006	13
	INTERCEPT®	S-303 (FRALE)	Red cells	n/a	-
	INTERCEPT®	S-303 (FRALE)	Whole blood	n/a	-
Terumo BCT	Mirasol®	Riboflavin + UVB Light (280-360 nm)	Platelets (apheresis or whole blood-derived)	CE marked (class IIB) 2007	18
	Mirasol®	Riboflavin + UVB Light (280-360 nm)	Plasma (apheresis or whole blood-derived)	CE marked (class IIB) 2008	11
	Mirasol®	Riboflavin + UVB Light (280-360 nm)	Whole blood	CE marked (class IIB) 2008	-
Macopharma	THERAFLEX®	UVC light	Platelets	CE marked (class IIB) 2009	-
	THERAFLEX®	Filtration + Methylene Blue + visible light (400-700 nm)	Fresh frozen plasma (apheresis or whole blood-derived)	CE marked (class III) 2004	15
Octapharma	Octaplas (S/D)	Solvent/Detergent	Large-pool of plasma (apheresis or whole blood-derived)	Licensed (in UK) 1998	32



Towards pathogen inactivation of red blood cells and whole blood targeting viral DNA/RNA: design, technologies, and future prospects for developing countries

Victor J. Drew¹, Lassina Barro^{1,2}, Jerard Seghatchian³, Thierry Burnouf^{1,4}

Blood Transfus 2017; 15: 512-21 DOI 10.2450/2017.0344-16

Globalement, seul l'hémisphère nord déploie ces technologies aujourd'hui. Intérêt d'un sang total atténué pour les pathogènes dans les pays où ce PSL reste majoritaire?

Données d'utilisation: Efficacité de l'atténuation des pathogènes



		Conventional Platelets		INTERCEPT Platelets	
Year	Units Transfused (n)	Transfusion Transmitted Sepsis (Fatalities)	Units Transfused (n)	Transfusion Transmitted Sepsis (Fatalities)	
2006-13 ^{1,2}	2,023,600	44 (8)	153,951	0 (0)	
	278,788	2 (0)	26,676	0 (0)	
	272,836	4 (1)	33,666	0 (0)	
	285,305	1 (0)	21,806	0 (0)	
	242,906	2 (0)	66,004	0 (0)	
2005-14 ^{3,4,5}	156,719	16 (3)	130,797	0 (0)	
	0	0 (0)	36,439	0 (0)	
	0	0 (0)	38,374	0 (0)	
	0	0 (0)	37,490	0 (0)	
	0	0 (0)	38,947	0 (0)	
2009-12 ⁵	207,659	4 (0)	110,660	0 (0)	
	40,344	0 (0)	29,476	0 (0)	
	38,221	3 (0)	21,834	0 (0)	
	8,253	0 (0)	57,428	0 (0)	
	0	0 (0)	65,501	0 (0)	
Total	3,554,631	76 (12)	876,029	0 (0)	

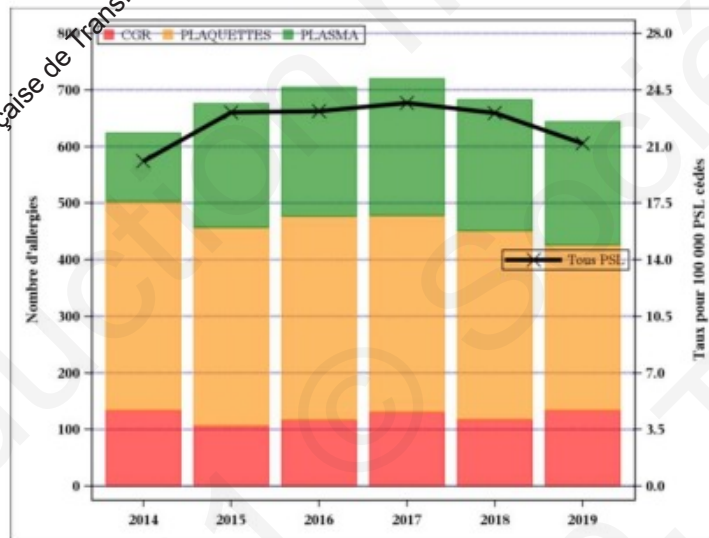
2021 © Société Française de Transfusion Sanguine. Tous droits réservés - Toute reproduction même partielle est interdite.

2021 © Société Française de Transfusion Sanguine. Tous droits réservés - Toute reproduction même partielle est interdite.

Données d'utilisation (efficacité de l'atténuation des pathogènes et réduction d'autres EIR)

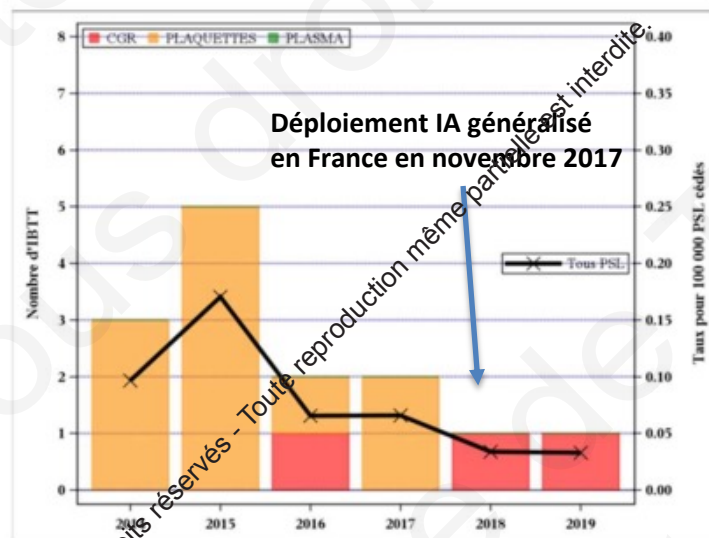
Analyses rétrospectives de transfusions de plaquettes IA Rapport d'Hémovigilance 2019 – ANSM

Evolution 2014-2019 des allergies d'imputabilité 2 ou 3 déclarées



- Réduction des réactions allergiques?
(Mertès et al. Transfusion 2019)
- Maîtrise GVHD sans irradiation

Evolution 2014-2019 des IBTT d'imputabilité 2 ou 3



Déploiement IA généralisé en France en novembre 2017

Déploiement généralisé Amotosalen-UVA: Novembre 2017

Conclusions

- L'atténuation des pathogènes dans les PSL est un élément supplémentaire dans l'amélioration continue de la sécurité transfusionnelle infectieuse
- Les technologies disponibles ont des spectres d'atténuation satisfaisant par rapport à la plupart des agents transmissibles significatifs en transfusion (chaque technologie a ses limites)
- Là où ces technologies ont été déployées, l'important risque bactérien, lié à la transfusion de plaquettes sanguines est à ce jour maîtrisé
- Intérêt majeur dans le cadre des pathogènes émergents
- Données d'hémovigilance très satisfaisantes sur le plan de l'efficacité et de la sécurité des PSL atténués (> 4M de produits transfusés en France à ce jour)
- Développement en cours pour les CGR (voire le ST)